

Cette partie du rapport présente différentes approches ayant pour but de caractériser la répartition des incendies tout en tenant compte d'autres facteurs comme le substrat ou zones anthropiques à proximité du déclenchement de ces incendies. Leur taille et leur localisation sont prises en compte afin de mettre en avant les lieux où les incendies ont été les plus intenses.

#### **i** Données exploitées dans les analyses du rapport

Les analyses effectuées dans le rapport sont issues d'un traitement sur les données de l'année **2020**.

### **Répartition par unité territoriale**

Sont présentés dans cette partie, le nombre de surfaces brûlées et la superficie en hectares incendiés par unité administrative. Ces résultats s'appuient principalement sur les données issues de la chaîne de traitement des images satellitaires de Sentinel 2.

### **Répartition en Nouvelle-Calédonie**

À l'échelle de la Nouvelle-Calédonie, les résultats sont présentés pour les données du capteur VIIRS du satellite SUOMI NPP ainsi que celles issues de la chaîne de traitement des images satellitaires de Sentinel 2 opérée par l'OEIL.

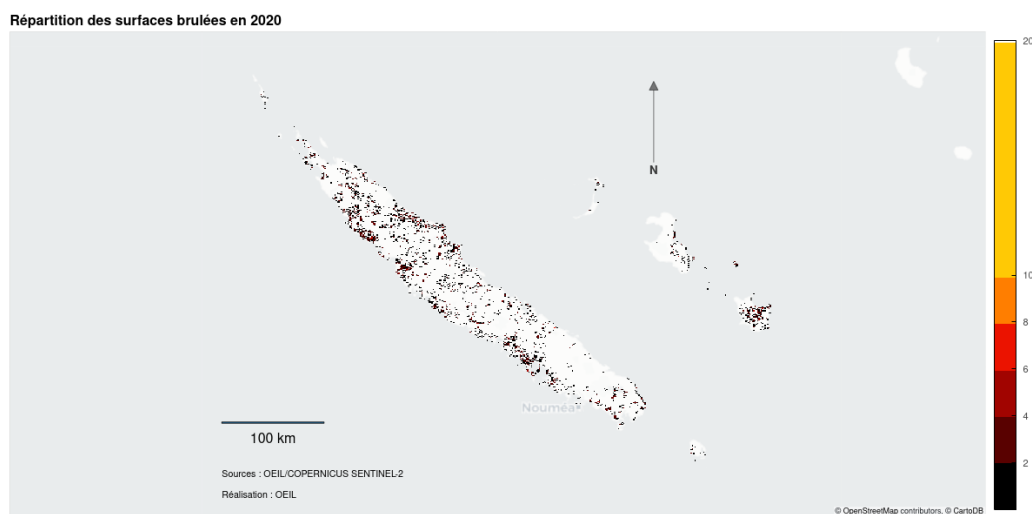


Figure 1

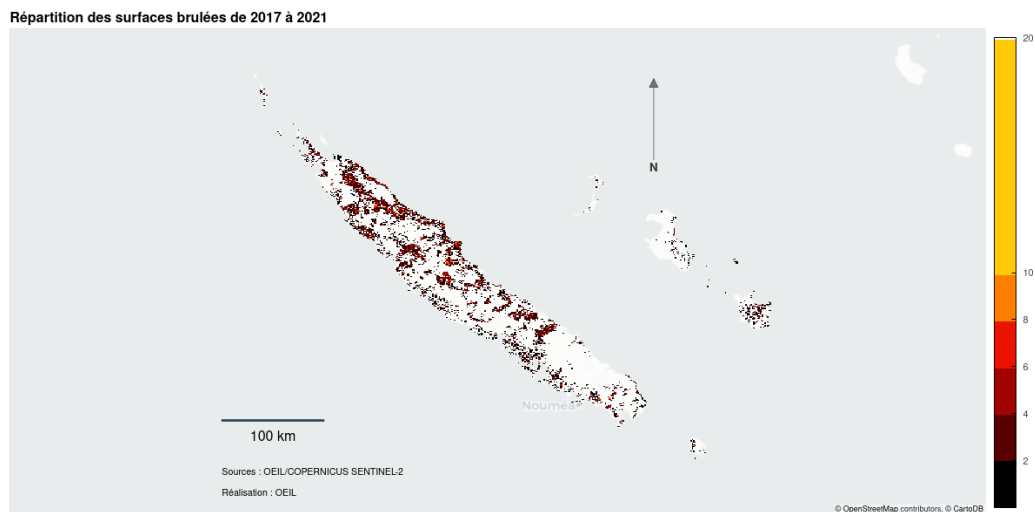


Figure 2

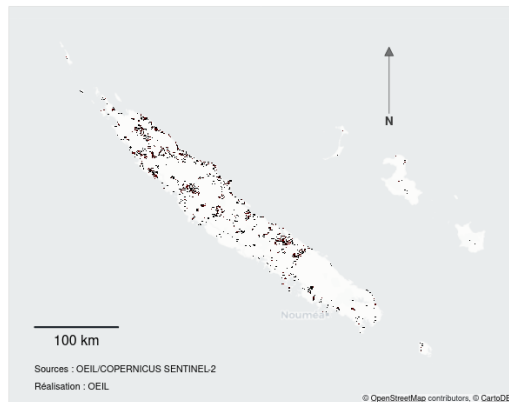
Table 1: Zones brûlées en Nouvelle-calédonie

Astronomical object	R (km)	mass (kg)
Sun	696,000	1.989e+30
Earth	6,371	5.972e+24
Moon	1,737	7.34e+22
Mars	3,390	6.39e+23

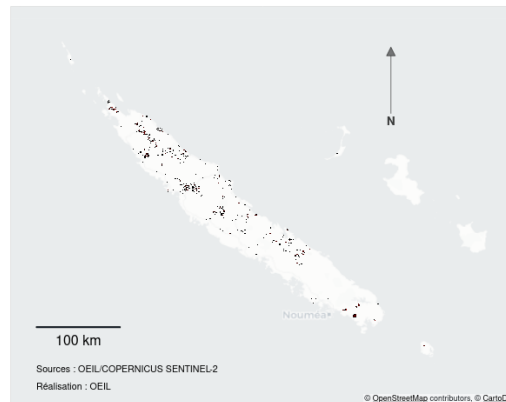


## Répartitions des détections années après années

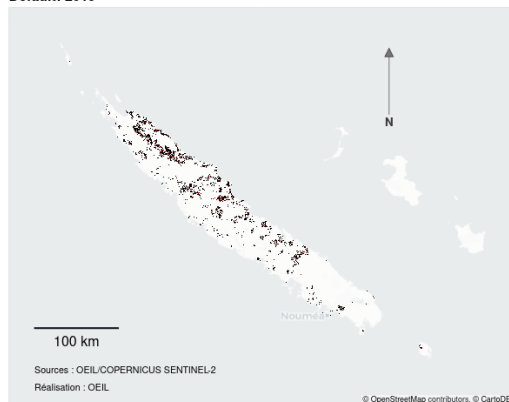
Default: 2017



Default: 2018



Default: 2019

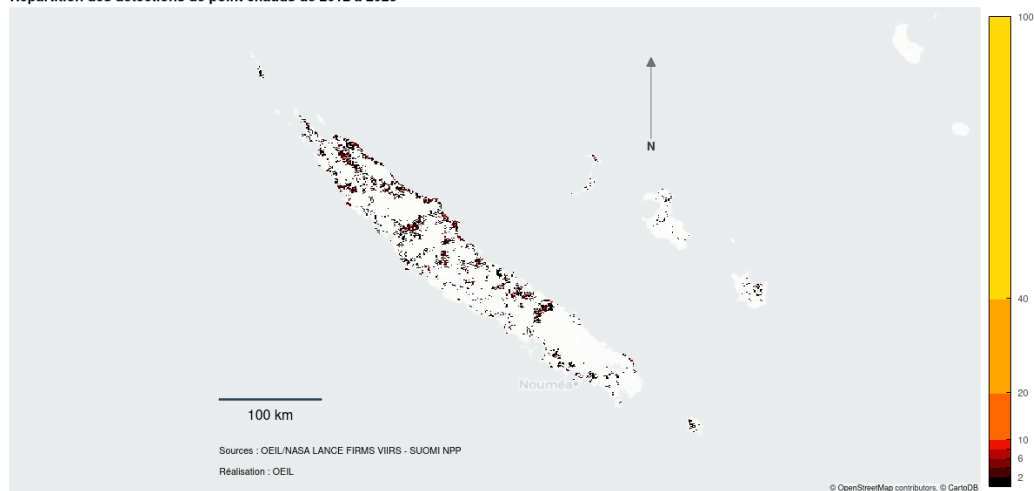


Default: 2021



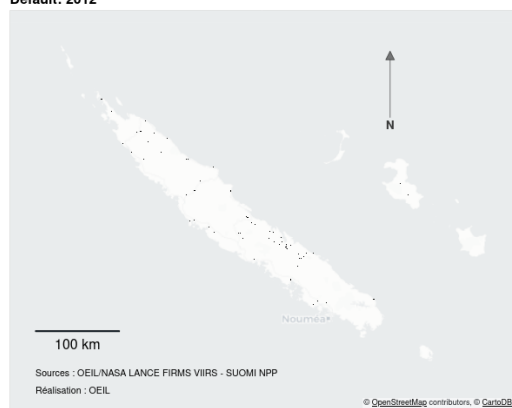
Figure 3

Répartition des détections de point chauds de 2012 à 2023

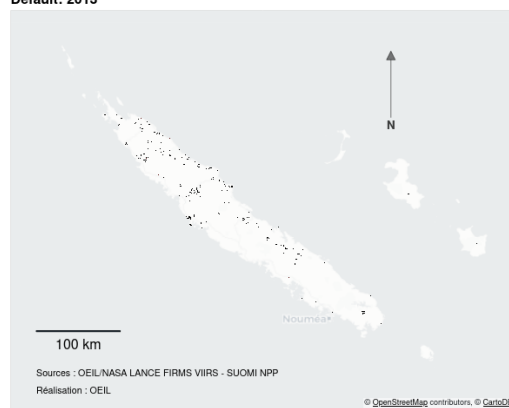


## Répartitions des détections années après années

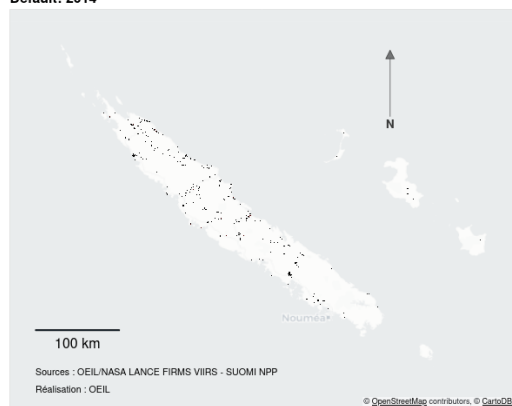
Default: 2012



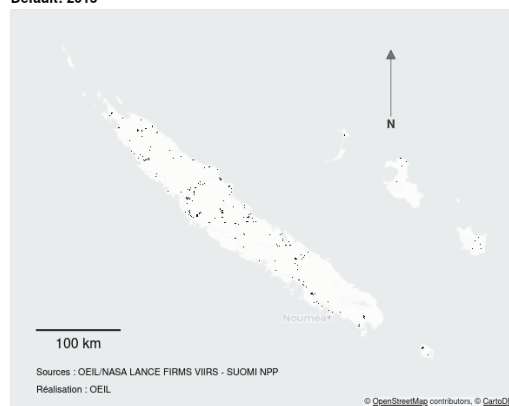
Default: 2013



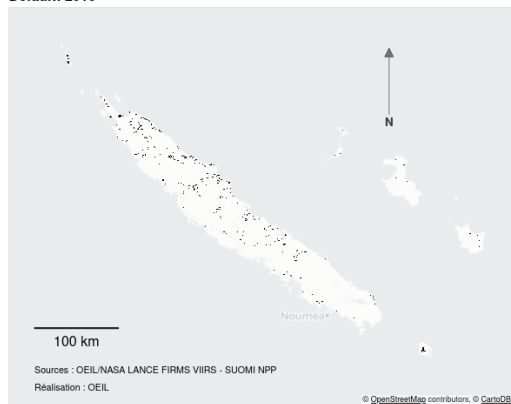
Default: 2014



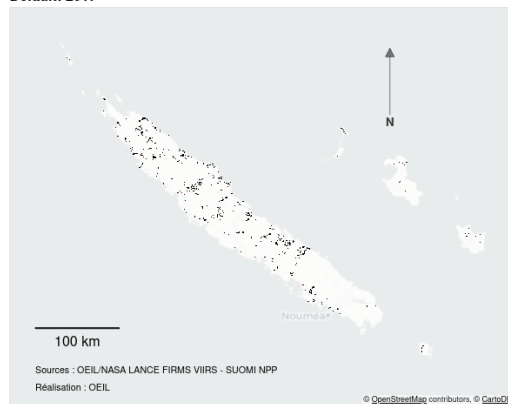
Default: 2015



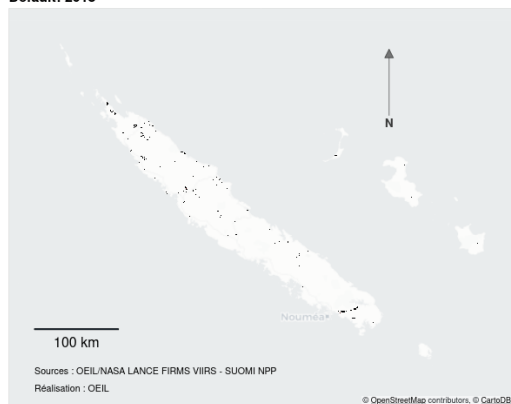
Default: 2016



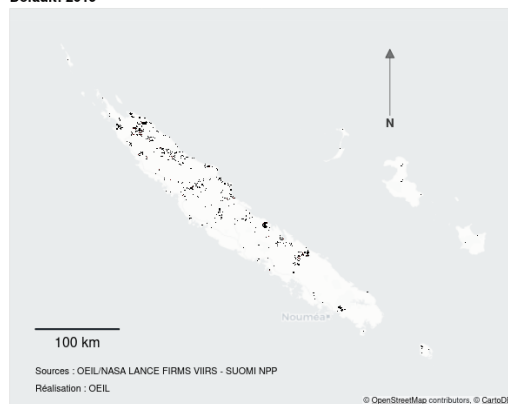
Default: 2017



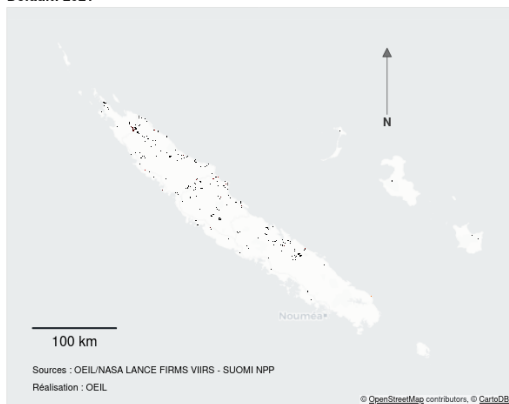
Default: 2018



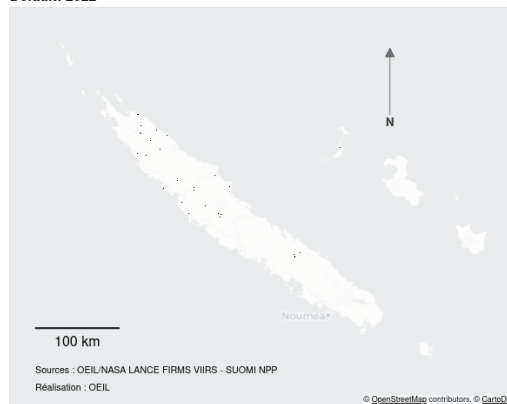
Default: 2019



Default: 2021



Default: 2022



Default: 2023

